

知らない現象(不知火現象)を科学する2

～浮島現象観測などから不知火現象解明への挑戦～

熊本県立宇土高等学校 科学部地学班 2年 1年

【要約】
 昨年から継続研究で、不知火現象の観測データを整理し、次に示す3つの視点(疑問)から解明に挑んだ。①光学的視点：不知火発生仕組みやその条件。②気象学的視点：なぜ八期なのか。③地形的視点：干潟の分布とその効果。研究の結果、①光学的には、不知火は異常屈折とされる一部は浮島現象や逃げ水と同じ下位気層構造であり、下側に反転して見えていた。その光路については、レーザー光を用いた実験で検証できた。②気象学的には、観測は八期(旧暦の8月)の時期が良いとされているが、これは海水温と気温の温度差が大きい時期であるから。③地形的には、干潟は温度差を大きくし異常屈折の原因となる気流の向きを乱していると考えられ、不知火の東側沿岸(八代方面)に多く分布している。また、これらを用いた新たな不知火現象の観望地(松合港の堤防から松構方面)を発見できた。

1 昨年の研究でわかった主な内容

- ・不知火現象のことはよく知らない人が多い。(アンケートや聞き取り調査より)
- ・不知火現象を観測、八期だけでなく、八望でも観測できる。
- ・干潟が不知火発生条件の一つ。

2 今年度の目的

- ・不知火現象に関する以下の疑問を以下の3つの視点から明らかにする。
- A 見え方やその仕組みは? ... 光学的視点
- B なぜ八期で八望なのか? ... 気象学的視点
- C 干潟の効果や関連性は? ... 地形的視点

3 研究内容

A 光学的視点

1 不知火現象の観測

- ① 目的：2020年の不知火現象を観測し、不知火現象の見え方や観測条件を明らかにする。
- ② 方法：① 観望地(図1)：宇土半島不知火の永尾神社、松合港
- ② 高さ(図2)：永尾神社の観望所(9m)、永尾海岸(1m)

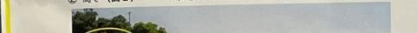


図1 観測関係箇所の概要図



図2 観測地点の様子(永尾神社の観望所と永尾海岸)

図3 観測方向
 永尾神社の観望所、神社前の永尾海岸の2地点で写真を撮る。(図3)



図4 観測日時と不知火現象の有無

観測日時	不知火現象の有無	備考
六期 7/22(水)	○	19:00-24:00 ×
六期 8/4(水)	○	9:00-29:00 ×
八期 8/20(日)	○	8:4 26:00-28:30
八期 10/3(土)	○	8/17 24:00-28:30
八期 10/13(土)	○	8/17 24:00-28:30

2 観望地の観測

- ① 観望日 長時間の観測。大潮の日の満潮→干潮。
- 七期は、コロナのため観測を自粛。
- 八期は、台風9号、八期当日は大雨のため断念。
- 七望は、台風9号、八期当日は大雨のため断念。
- ② 観望できた不知火現象の様子(図5)
- ③ 観望地の高さによる変化
- ④ 観望地の高さによる変化
- ⑤ 観望地の高さによる変化

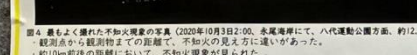


図5 最もよく撮れた不知火現象の写真(2020年10月3日と20、永尾海岸にて、八代運動公園方面、約2.3kmの距離)。

観望地から観望している距離で、不知火の見え方に違いがあった。

約10m前後の距離において、不知火現象が見られた。

③ 観望地の高さによる変化

→ 10月2日の観望では、観望地が高い方が見えた(大島方面)

→ 10月18日は、観望地が高い方が見えた(大島方面)

→ 10月18日は、観望地が高い方が見えた(大島方面)

→ 観望地の高さや観望先までの距離、観望地の局所的な要因によって、見え方が変わる

④ 観望地の高さによる変化

よく見えた時から一時間程度経過すると見えなくなった。(図5)

2時02分 3時04分

図6 最もよく撮れた不知火現象の時間推移(大島左の運動公園方面、10月3日大潮の日)

距離、観望地の高さ、時間は同じであるのに、不知火現象の見え方が異なっていた。

何が局所的な要因か原因 → 風の影響を考えた(図6)

⑤ 観望地の高さによる変化

よく見えた時から一時間程度経過すると見えなくなった(図7)

図7 大潮の干潮時の見え方(10月18日、干潮時刻13:30)

冬季に、以下の晴れた17日において浮島現象を観察を行った。

2019年：11月→4日、10日、12日、13日、15日、16日 12月→7日、8日、9日、23日、24日

2020年：2月→1日、2日、5日、6日、9日、14日

図8 浮島現象の様子(2月6日7時過ぎ、左：写真、右：スケッチ)

(2) 結果

① 見え方：下側に反転したような形となり、浮いて見えた。(図8)

② 観測に必要な条件：A一定の距離、B一定の高さがある。C海水と気温の温度差が大きい

(3) 考察：不知火現象と浮島現象は、似たような見え方をする。

3 発生原理

低温(高密度) 高温(低密度) 屈折して曲線を描く

図9 下位気層の発生仕組み

光は気温(密度)の異なる空気層を通過するときに屈折して曲線を描くため反転して見える(図9)。

→ 観測した不知火現象や浮島現象は下位気層

4 モデル実験による下位気層の光路の確認

(1) 方法

下位気層発生原因の空気密度差(温度差)を飽和硫酸溶液と水を用いて層を作り再現する。

(2) 結果(図10)

① 見え方：反転した不知火現象や浮島現象のような像を見ることができた。(図11)

② 下位気層の光路、屈折を繰り返してきれいな曲線を描いて出ていて、下位気層の光路を確認することができた。(図12)

図10 実験装置

図11 見えた像

図12 レーザーの光路

図13 気温と海水温の年別(2019年10月3日と20、永尾海岸にて、八代運動公園方面、約2.3kmの距離)

図14 気温と海水温の年別(2019年10月3日と20、永尾海岸にて、八代運動公園方面、約2.3kmの距離)

図15 気温と海水温の年別(2019年10月3日と20、永尾海岸にて、八代運動公園方面、約2.3kmの距離)

(2) 海面以上の気温

海面から高さが上がるにつれて下がっていった。

→ 直上の空気は海面に近いほど、受ける影響は大きい。(表4)

表4 海面からの高さ(2020年10月3日と20、永尾海岸にて、八代運動公園方面、約2.3kmの距離)

海面からの高さ(cm)	0m[℃]	4m[℃]
200	20.2	19.1
100	20.3	19.2
20	20.4	19.3
5	20.5	19.4

5 なぜ八期が良いとされているのか

(1) 月別日較差

春(3月から9月)、八期(8月から9月)頃で、月別日較差が大きくなっている。

(2) 海水温と最低気温(図13、表5、6、気象庁データより作成)

→ 冬から春にかけては八期の時期に気温が低くなっている気層のデータでは冬の温度差が大きくなっているが、不知火の発生は、夏期にはもう少し低い。そのため、冬の温度差が大きい日数や温度差はもう少し少ないと思われる。

表5 海水温(年平均)と最低気温の最大温度差

年	2019	2020
季節	秋(八期)	冬
日付	10月3日 12月31日	3月6日 9月21日
最大温度差[℃]	11.0	18.0
	15.0	10.2

図13 気温と海水温の年別(気象庁データより作成。三角の1981年～2010年の平均値)

(3) 秋分前後や台風の影響

→ 秋分前後：日照時間により日射量が減り、気温変化が小さくなる。

→ 八期当日は、現地に集まるのも雨で観測できず、ここ3年間は毎日天候に恵まれず観測不可。

→ 台風：風による表層の混濁で海水温が低下。(図15)

→ 今年は記録的に表層の海水温が高かったが、その後台風9・10号の通過で海水温は急激に低下。

図14 台風10号(気象庁より)

図15 台風通過による海水温の変化(左：前(8月31日)、右：後(9月14日)、気象庁)

(4) まとめ

→ 八期は、必要な条件である月別日較差、海水温と最低気温の差が大きくなっている。

→ 八期の時期の晴れた日は、一年の中で海水温と最低気温の温度差が大きくなる。

→ よって、秋分や台風の影響がなければ、八期は最も不知火現象の観測に適した時期である。

C 地形的視点

1 動機・目的

文献から、干潟は不知火現象発生原因の一つとわかった。

そこで、干潟の特徴・分布、不知火の特徴について明らかにする。

2 干潟の構造と気温の実測

(1) 方法：干潟の様子を3地点で観測する。(表6、二本松、亀崎)

(2) 結果：海水が溜まっている所と砂の所が多数存在。(図16)

(3) 考察

海水が溜まっているところの上は気温が高く、土のところは低い。

→ 温度が異なるところが複雑に分布し、上位置気層と下位置気層とが重なったような不知火現象を発生しているのではないか。

3 干潟の効果～陸、干潟、海を田んぼでモデル化～

(1) 動機・目的・方法

永尾海岸で干潟温度分布や、気温の測定を試みたが、

水が溜まると、観測できず、そのために田んぼの水、

溜まっている。乾いている土を海水、干潟、陸に見立て、

水中(水)・表面・表面から高さ約1cmを計測する。(図17)

(2) 結果・考察(表6)

潮が干上がったところでも温度が上がっている。

→ 温度変化は、土、水の混ざった土、水の間に大きかった。

→ 潮には、どの場所でも温度が最低になる。

→ 水を含むほど、温度変化が小さくなる。

4 干潟の分布

(1) 方法

① 大潮の日にドローンを用いて干潟分布の様子を写真に撮る。

② 海潮時と干潮時を比較する。

(2) 結果

海潮時は、海水が溜められるのに対し、干潮時は広範囲に

分布していた。(図18)

5 不知火の特徴～海と干潟の状態は～

(1) 方法

地形図を貼り合わせ、干潟の分布図を作成する。

(2) 結果(図19)

① 地形… 不知火は、北東～南西方向に狭長い。

② 干潟の分布… 八代方面は広範囲に分布。

③ 多くの川が分布… 気温の異なる空気が複雑に分布。

図16 干潟の構造(永尾海岸にて)

図17 測定の様子(9月13日12時30分)

表6 9/15(9時5分)と9/13(12時30分)の温度の様子

高さ	9/15	9/13
水深	28.2	28.1
表面	28.2	28.1
1cm	28.2	28.1
2cm	28.2	28.1
3cm	28.2	28.1
4cm	28.2	28.1
5cm	28.2	28.1
6cm	28.2	28.1
7cm	28.2	28.1
8cm	28.2	28.1
9cm	28.2	28.1
10cm	28.2	28.1

図18 大潮の干潮時に広く分布する干潟

図19 干潟の分布

図20 松合港の堤防から松構方面の目と夜間の不知火現象の様子(10月11日 20、10月19日 20)

(6) 考察(図21)

堤防の影を投げて逃げ水は1つではなく、いくつも見えた。

列にも見えたりする点で不知火現象は、逃げ水の見え方と似ている。

5 まとめ

→ 不知火現象は、浮島現象と同様に気温の異なる空気が原因で起こる光の屈折現象である。

→ 気温と海水温との温度差が大きい、干潟が広く分布する八期頃の大潮の晴れた日の夜に観測できる。

→ 昔と現在では光源や干潟の分布域等が変化しているため、「永尾→大島」は、現在一番の観望地。新規の観望地として「松合港→松構」を発見することができた。

6 今後の課題

→ 不知火現象の観測データを蓄積する。(八期と冬や春、大潮時以外でも)

→ 不知火海上の風と不知火現象に与える影響を調べる。

→ シミュレーションソフトを用いた光学検証を行う。

→ 不知火現象や逃げ水のモデル化(再現実験)を行う。

→ 上位置気層が不明な不知火現象の観測を行う。

→ 海水に影を投じた空気層の厚さの観測を正確に行う。

→ 干潟の上の気温の測定と気温分布の3Dモデルを行う。

→ 干潟に逃げ水による気温への影響を調べる。

→ 他の観望地・観望地の検討と、観望による検証を行う。

7 謝辞および主な引用・参考文献

本研究に協力頂いた宇土市役所、宇土市教育委員会、永尾・松合の方、本校の本多様貴先生

に感謝申し上げます。

・不知火の発生原因(熊本県教育委員会)

・不知火の発生原因(熊本県教育委員会)